










Perfil Químico Obtido por CG-EM e Atividade Biológica da Fração Hexânica das Folhas de Dois Espécimes de *Mouriri Guianensis* Aubl.

Chemical Profile Obtained by GC-MS and Biological Activity of the Hexane Fraction of the Leaves of Two Specimens of *Mouriri guianensis* Aubl.

Fabiano A. Nunes,^a  Rodrigo F. Santiago,^a Pedro Vitor O. S. Furtado,^a Stéphanie A. de N. M. Silva,^c  Jaqueline Fernanda de S. Silva,^a Lorena Tuane G. de Almeida,^a  Ana Jérsia Araújo,^c  José Delano B. M. Filho,^c  Chistiane M. Feitosa,^a Gerardo M. V. Júnior,^a  Maria do Carmo G. Lustosa,^d  Éverton Leandro de F. Ferreira,^b  Mariana Helena Chaves^{a,*} 

^aUniversidade Federal do Piauí, Campus Ministro Petronio Portela, Centro de Ciências da Natureza, Departamento de Química, CEP 64049-690, Teresina-PI, Brasil

^bUniversidade do Vale do São Francisco, Campus Serra da Capivara, CEP 64770-000, São Raimundo Nonato-PI, Brasil

^cUniversidade Federal do Delta do Parnaíba, Laboratório de Cultura de Células do Delta, CEP 64202-020, Parnaíba-PI, Brasil

^dUniversidade Federal do Piauí, Campus Amílcar Ferreira Sobral, Centro de Ciências da Natureza, Departamento de Química, CEP 64800-000, Floriano-PI, Brasil

*mariana@ufpi.edu.br



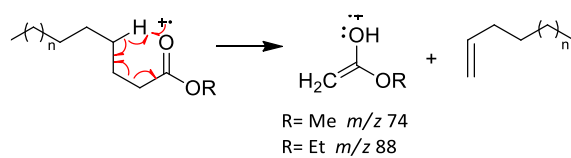


Figura S3. Rearranjo de McLafferty em ésteres de ácidos graxos

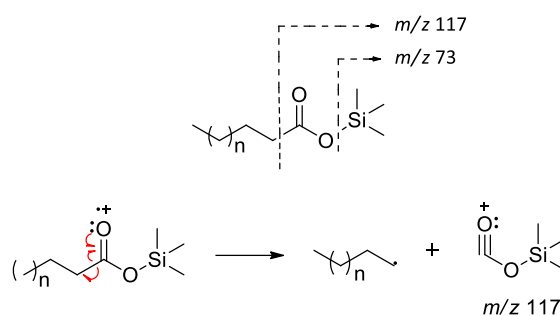


Figura S4. Fragmentação de ácidos graxos sililados Adaptado de Kuksis *et al.*²

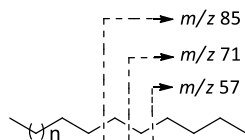


Figura S5. Fragmentação de hidrocarbonetos lineares

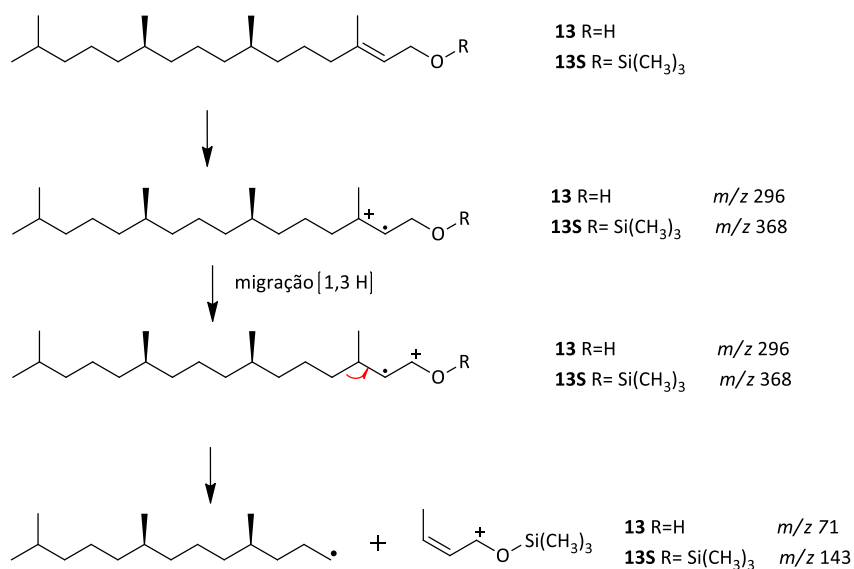


Figura S6. Proposta de fragmentação do fitol (**13**) e do seu derivado sililado (**13S**). Adaptado de Vetter *et al.*³

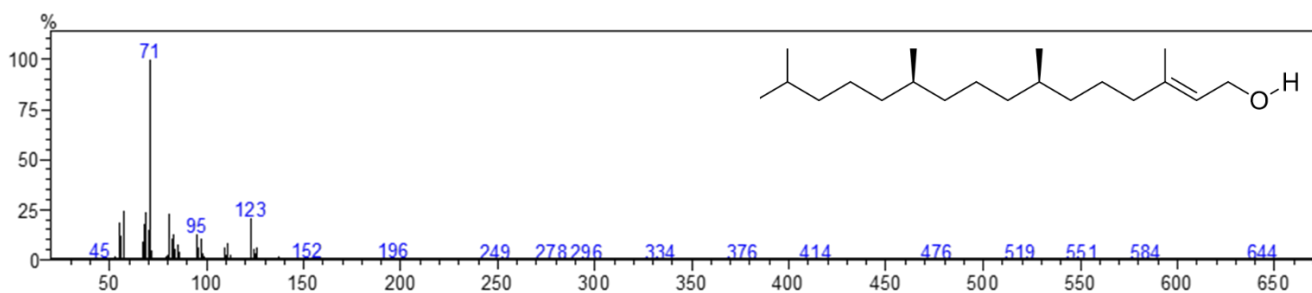


Figura S7. Espectro de massas do *E*-Fitol (**13**), *t_R* 29,605.

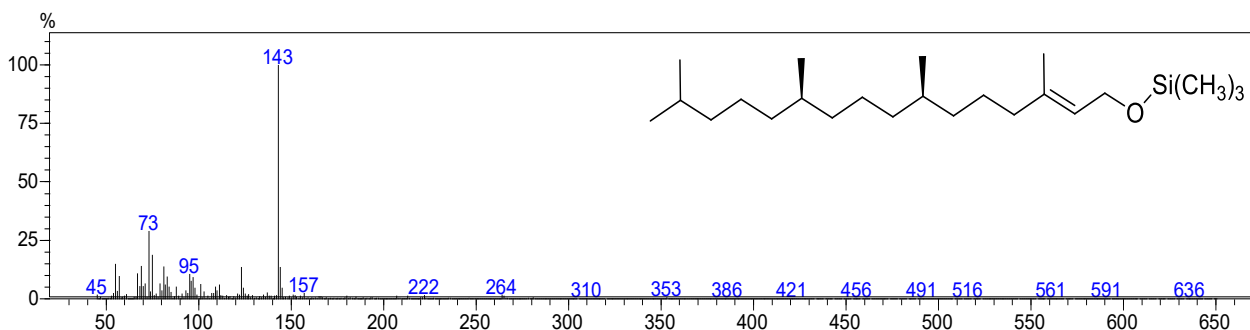


Figura S8. Espectro de massas do derivado sililado do Fitol (**13S**), *t_R* 30,555



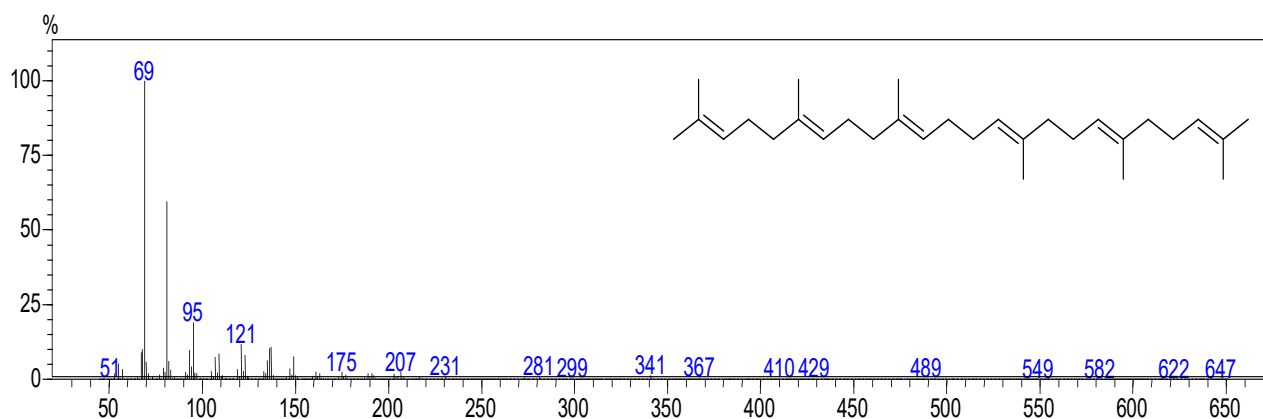


Figura S12. Espectro de massas do esqualeno (**25**), t_R 39,485

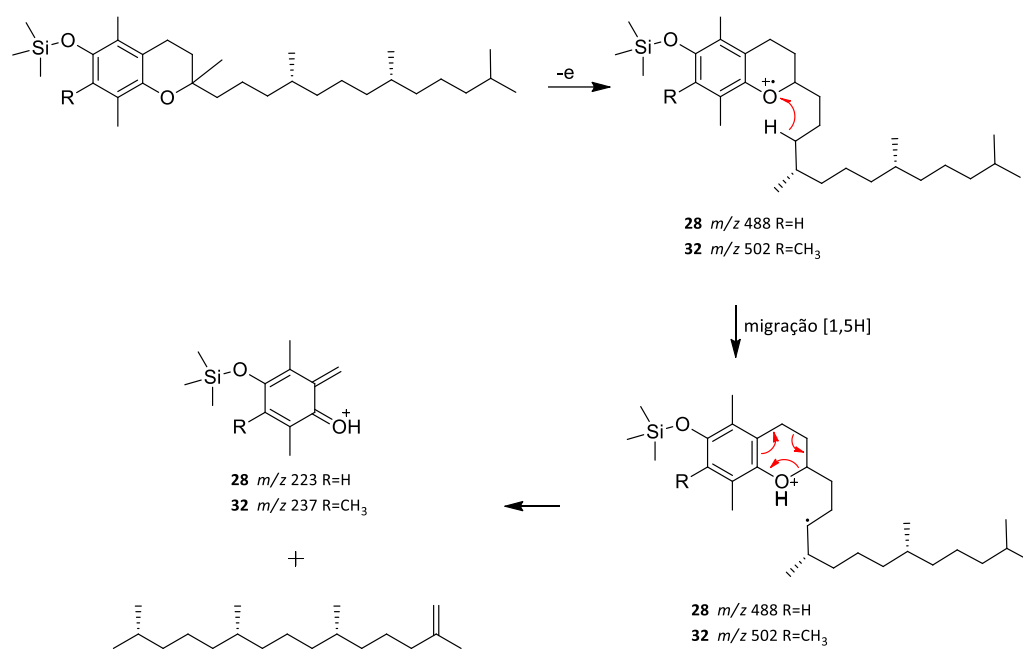


Figura S13. Proposta de fragmentação dos derivados siliados do β -tocoferol (**28S**) e α -tocoferol (**32S**).

Adaptado de Zang *et al.*⁵

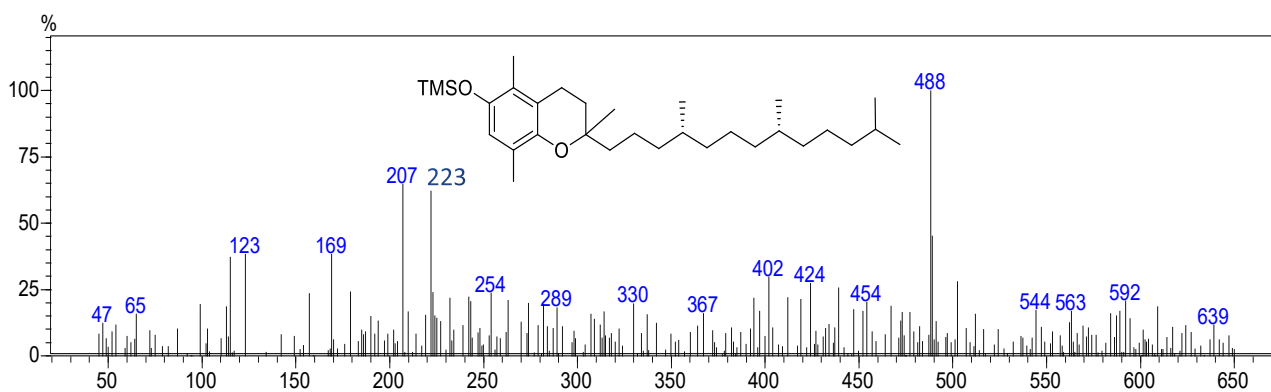


Figura S14. Espectro de massas do derivado sililado do β -tocoferol (**28S**), t_R 41,445

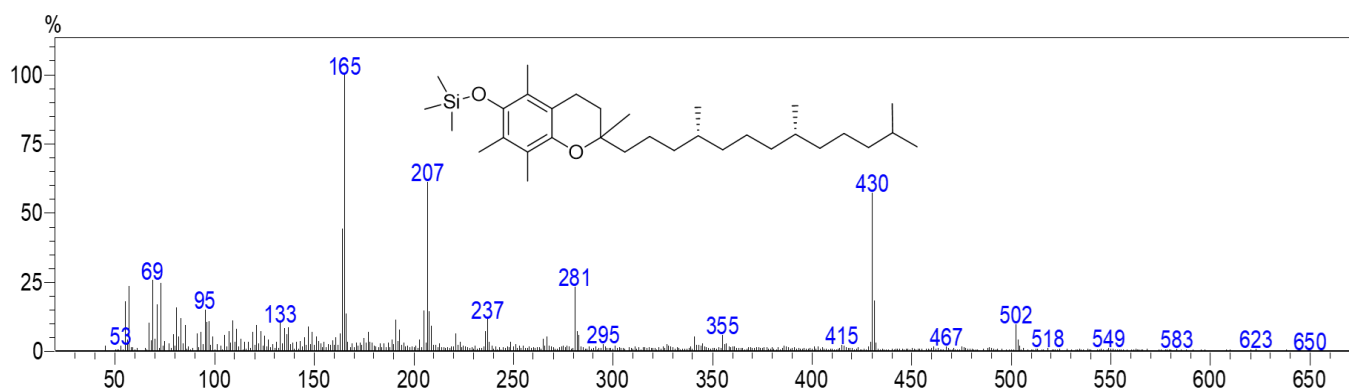


Figura S15. Espectro de massas do α -tocoferol e seu derivado sililado (**32+32S**), t_R 43,280

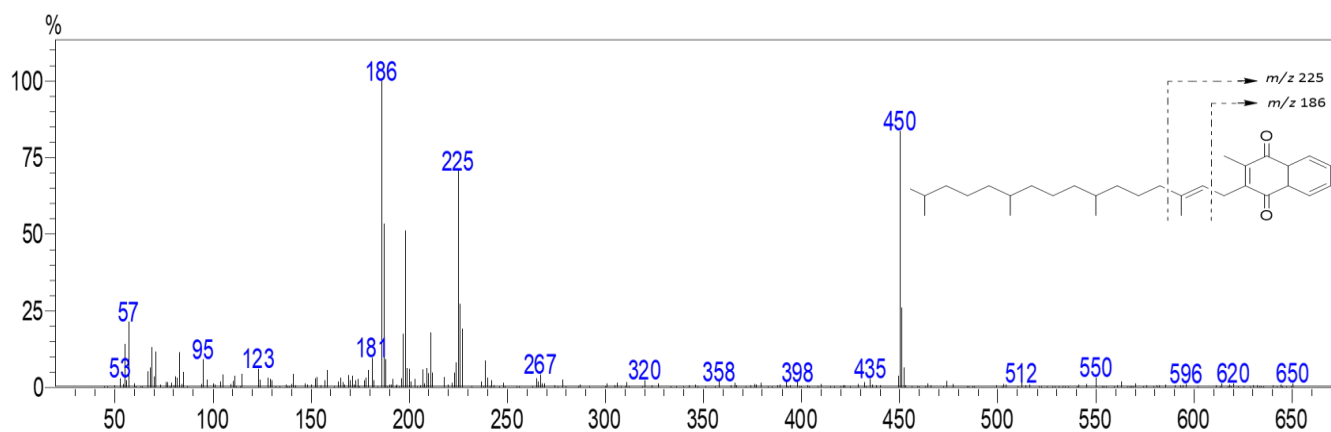


Figura S16. Espectro de massas e proposta de fragmentação da filiquinona (**35**), t_R 46,460



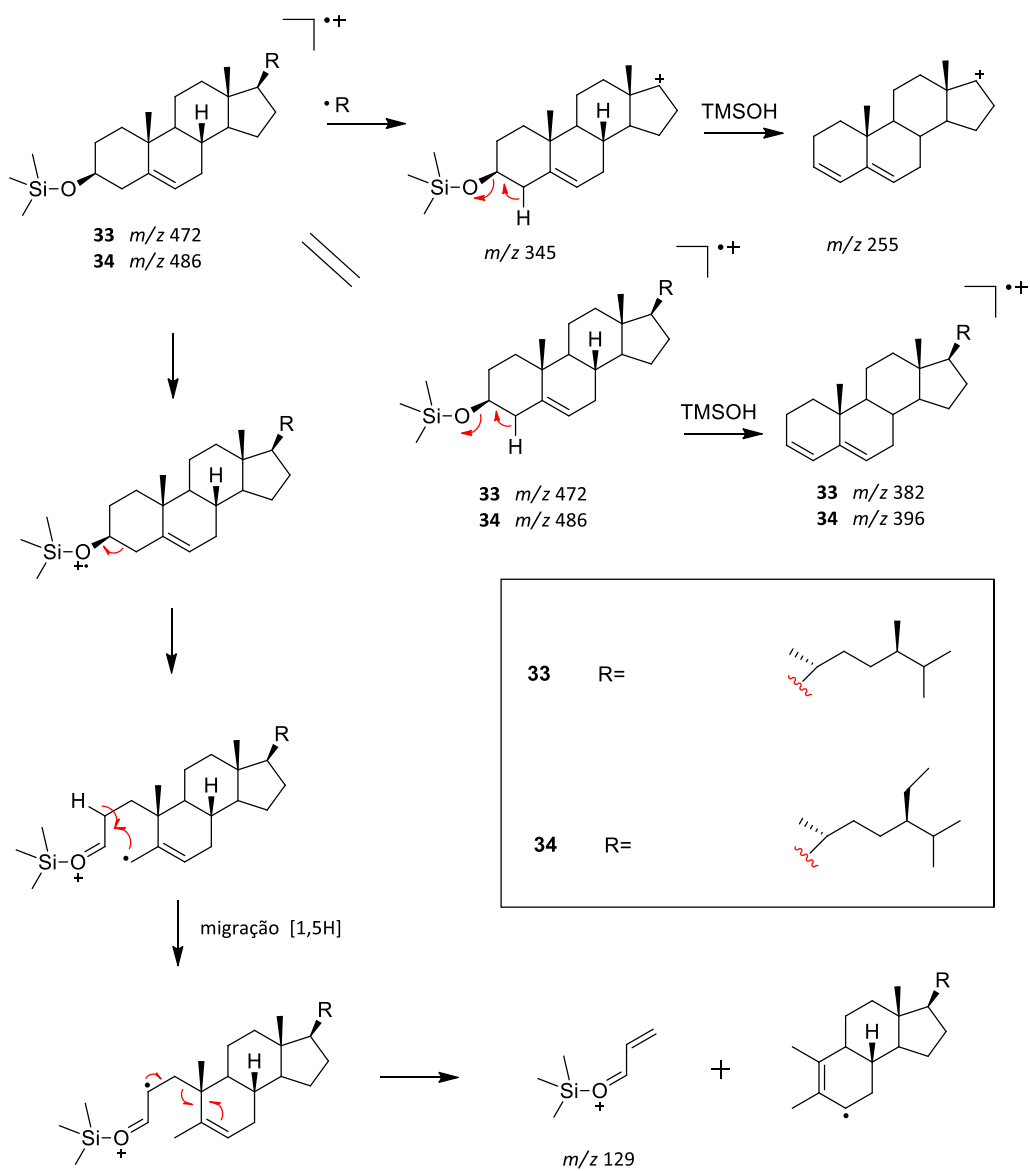


Figura S17. Proposta de fragmentação dos derivados sililados do campesterol (**33S**) e sitosterol (**34S**).

Adaptado de: Zhang *et al.*; Saini *et al.*⁶⁻⁷

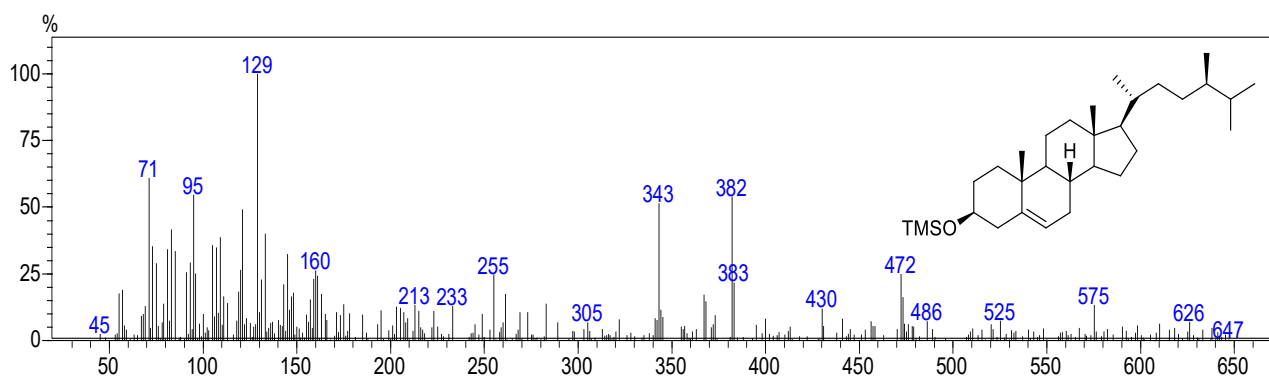


Figura S18. Espectro de massas do campesterol sililado (**33S**), t_R 44,970

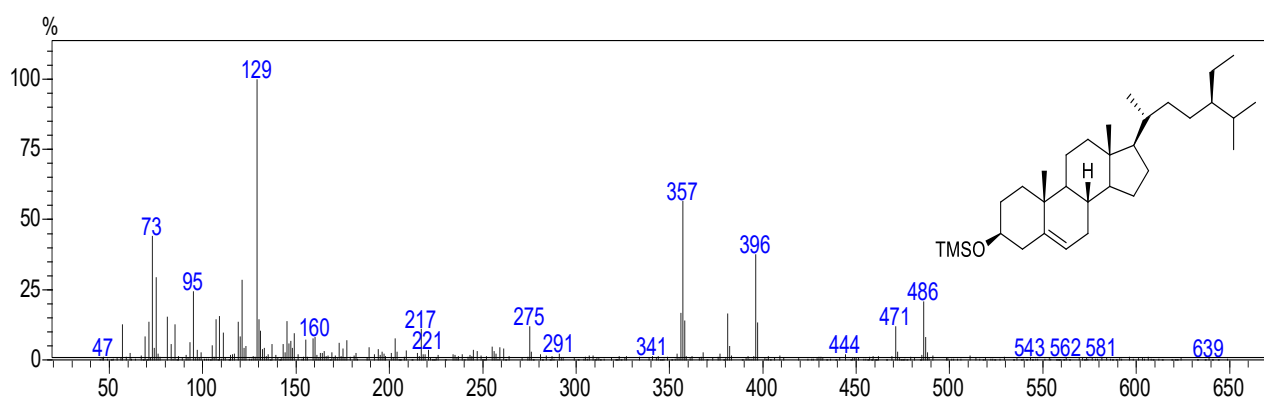


Figura S19. Espectro de massas do sitosterol sililado (**34S**), t_R 46,145

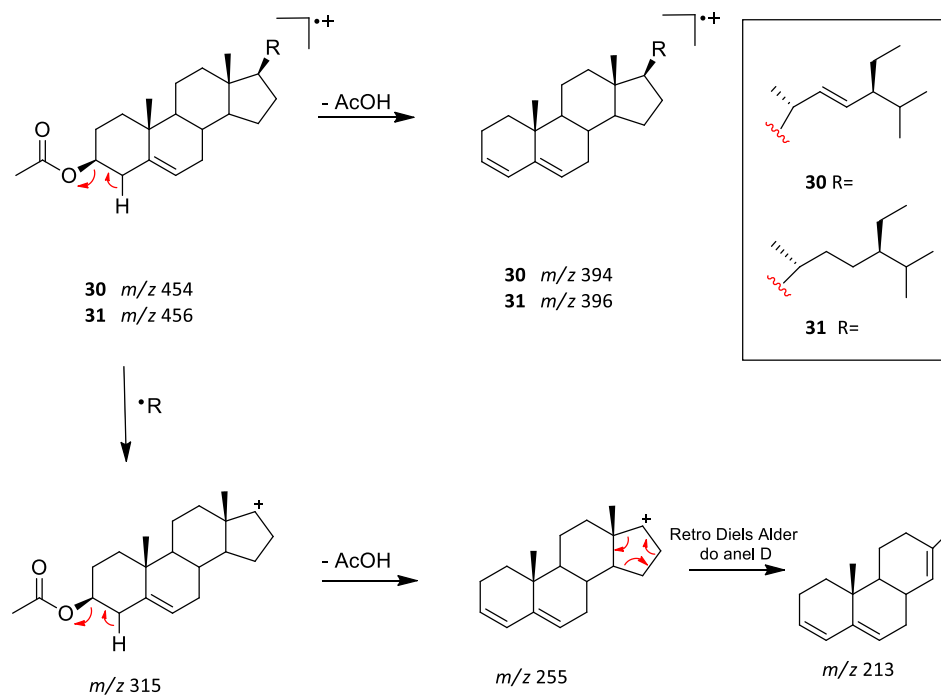


Figura S20. Proposta de fragmentações dos esteroides **30** e **31**. Adaptado de Silva *et al.*⁸

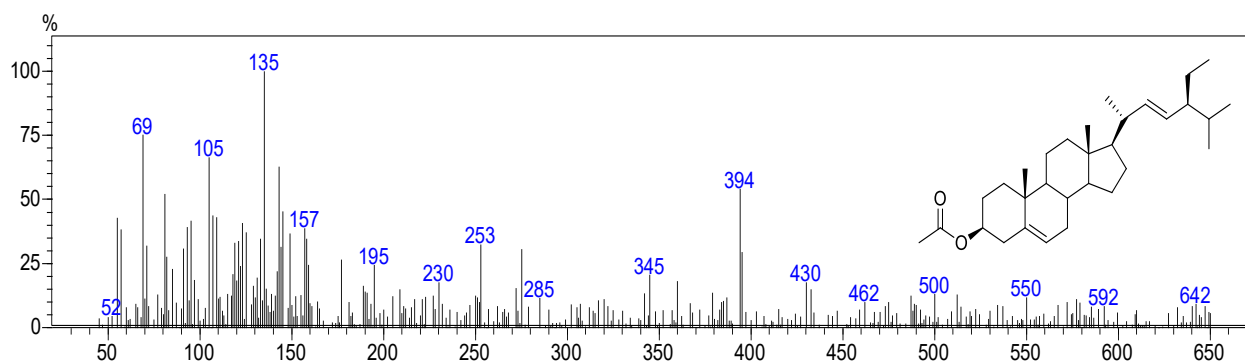


Figura S21. Espectro de massas do composto acetato de estigmasterila (**30**), t_R 42,685

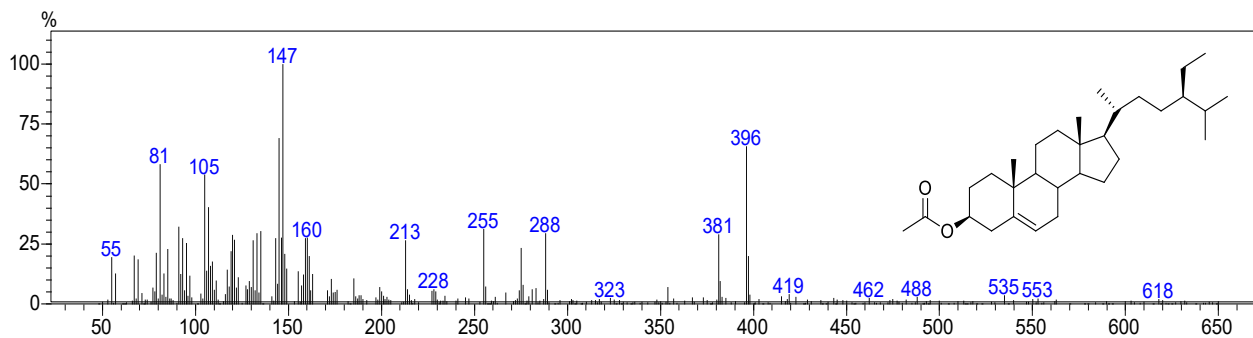


Figura S22. Espectro de massas do composto acetato de sitosterila (**31**), t_R 42,935



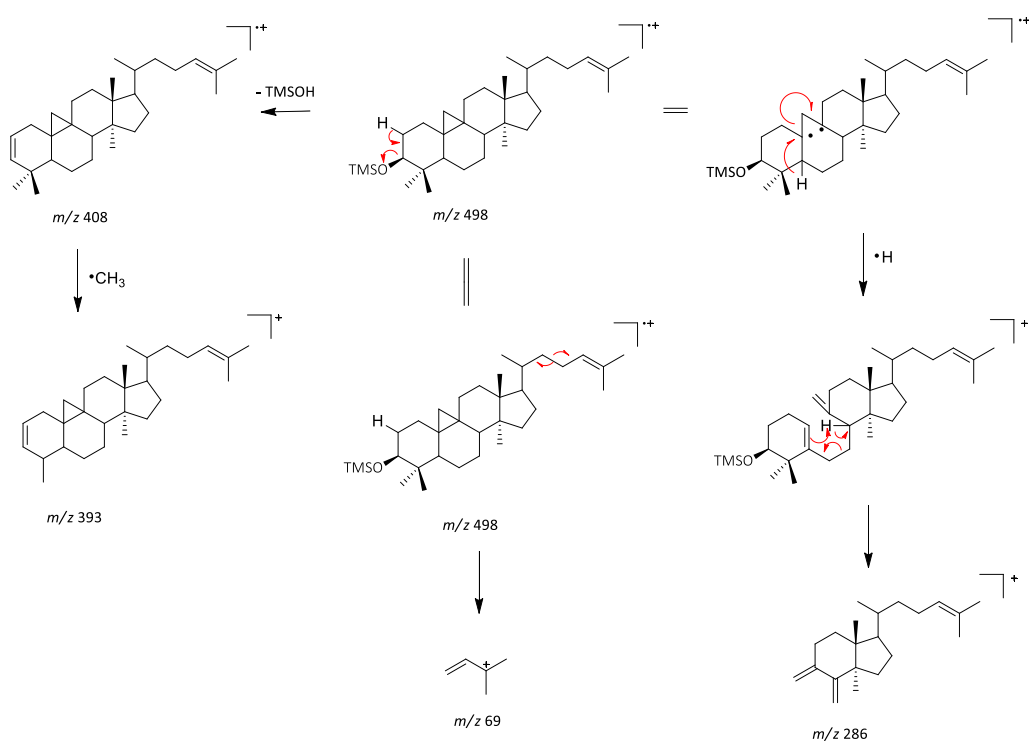


Figura S23. Proposta de fragmentação do cicloartenol silitado (**36S**). Adaptado de Garcia *et al.*; Audier *et al.*; Santos *et al.*; Gwatidzo *et al.*^{9,10,11,12}

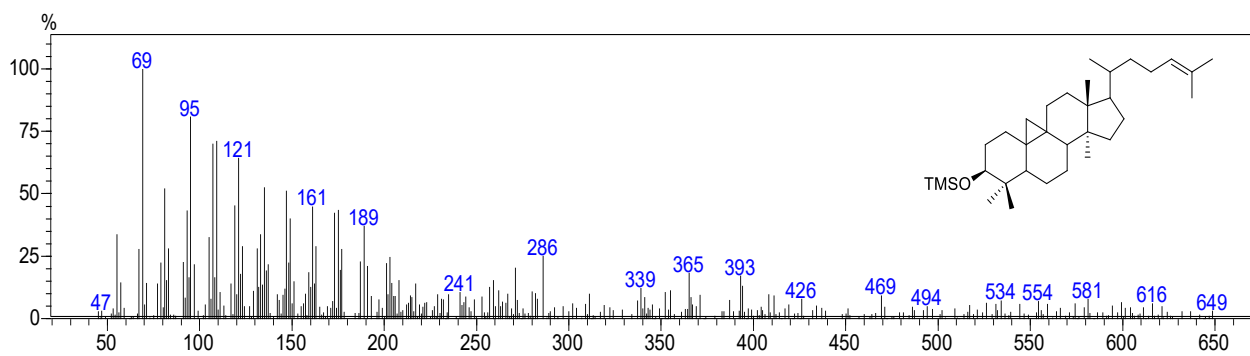


Figura S24. Espectro de massas do composto cicloartenol silitado(**36S**), t_R 47,625



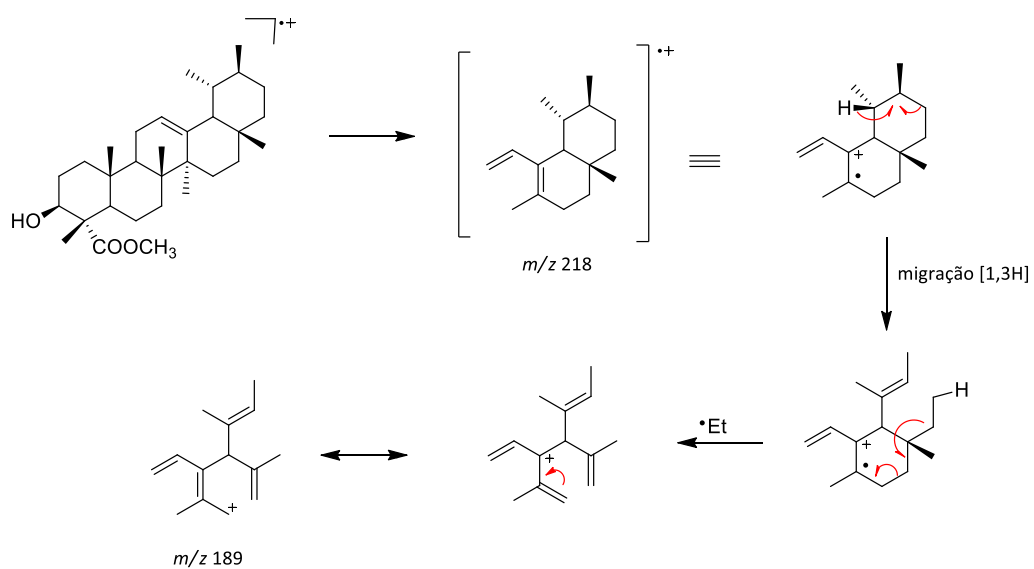


Figura S25. Proposta de fragmentação do composto **37**. Adaptado de Silva *et al.*¹¹

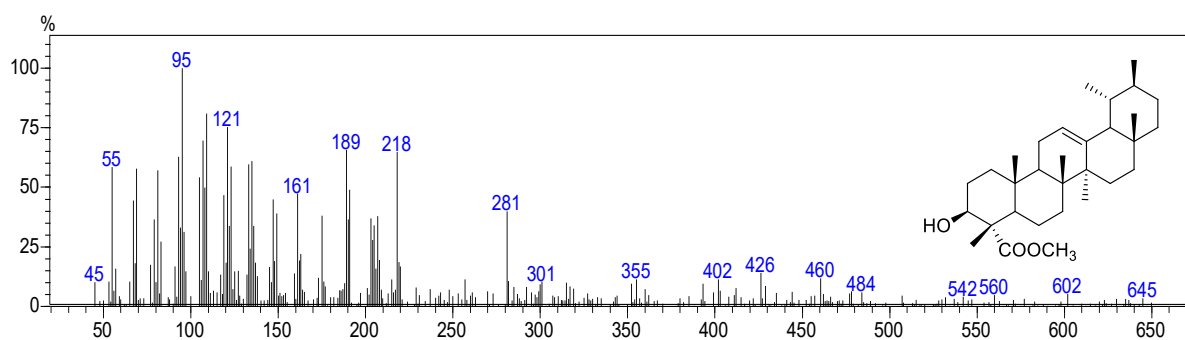


Figura S26. Espectro de massas do composto de metila (**37**), t_R 47,870

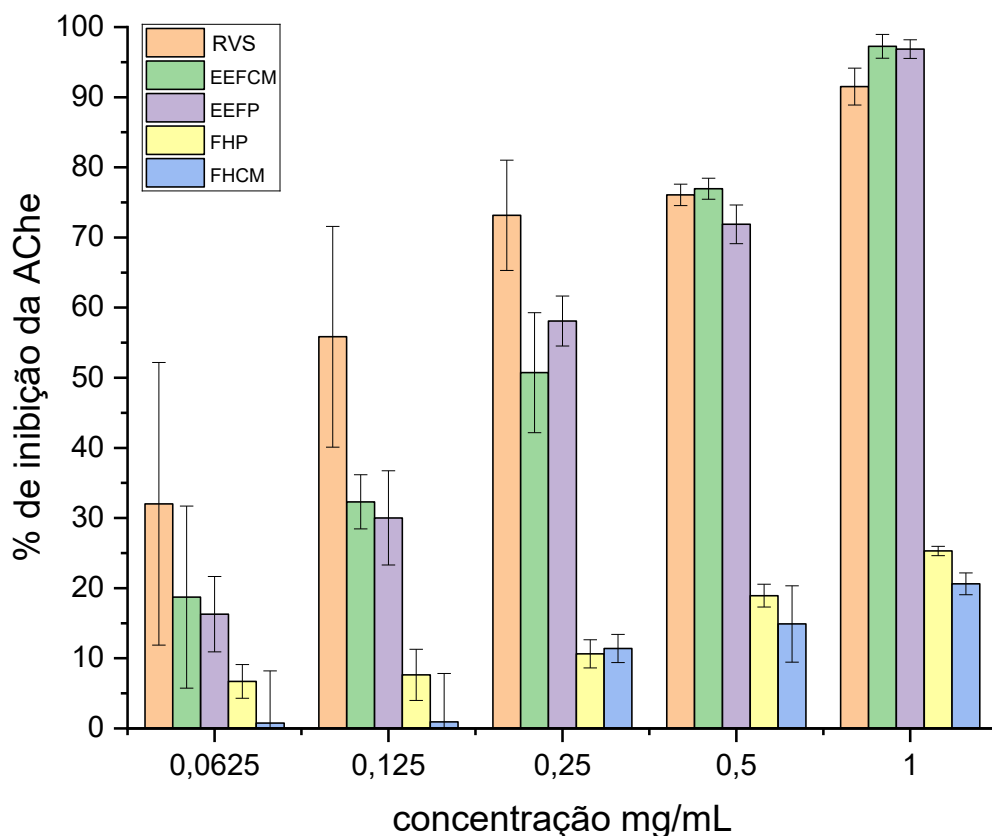


Figura S27. Porcentagem de Inibição da enzima acetilcolinesterase

Referências Bibliográficas

1. Lin, D. L.; Wang, S. M.; Wu, C. H.; Chen, B. G.; Liu, R.; Chemical derivatization for the analysis of drugs by GC-MS - A conceptual review. *Journal of Food and Drug Analysis* **2008**, *16*, 1. [\[Crossref\]](#)
2. Kuksis, A.; Myher, J. J.; Marai, L.; Geher, K.; Estimation of plasma free fatty acids as the trimethylsilyl (TMS) esters. *Analytical Biochemistry* **1976**, *70*, 302. [\[Crossref\]](#)
3. Vetter, W.; Schroder M.; Lehnert, K.; Differentiation of Refined and Virgin Edible Oils by Means of the trans- and cis-Phytol Isomer Distribution. *Journal of Agricultural and Food Chemistry* **2012**, *60*, 6103. [\[Crossref\]](#)
4. Oliveira-Junior, R. G.; Ferraz, C. A. A.; Oliveira, A. P.; Alencar-Filho, J. M. T.; Araújo, E. C. C.; Nunes, X. P.; Picot, L.; Braz-Filho, R.; Rolim, L. A.; Almeida, J. R. G. S.; Chemical constituents of non-polar fractions obtained from *Cnidocolus quercifolius* Pohl (Euphorbiaceae), a Brazilian medicinal plant native to Caatinga biome. *Revista Virtual de Química* **2019**, *11*, 498. [\[Crossref\]](#)
5. Zhang, R.; Shen, W.; Wei, X.; Zhang, F.; Shen, C.; Wu, B.; Zhao, Z.; Liu, H.; Deng, X.; Simultaneous determination of tocopherols and tocotrienols in vegetable oils by GC-MS. *Analytical Methods* **2016**, *8*, 7341. [\[Crossref\]](#)
6. Zhang, C.; Wang, Y.; Qi, S.; Identification and significance of sterols in MSW landfill leachate. *Journal of*



- Cromatography B* **2008**, 874, 1. [[Crossref](#)]
7. Saini, R. K.; Song, M.; Yu, J.; Shang, X.; Keum, Y.; Phytosterol Profiling of Apiaceae Family Seeds Spices Using GC-MS. *Foods* **2021**, 10, 2. [[Crossref](#)]
 8. Silva, R. A. C. da; Lemos, T. L. G. de; Ferreira, D. A.; Monte, F. J. Q.; *Ximenia americana*: Chemical and Spectral Studies of Extracts of Seeds. Analysis of Trimethylsilyl Derivatives by Gas Chromatography and Mass Spectrometry. *American Journal of Analytical Chemistry*, **2016**, 7, 192. [[Crossref](#)]
 9. Garcia, M. D.; Sáenz, M. T.; Ahumada, M. C.; Cert, A.; Isolation of three triterpenes and several aliphatics alcohols from *Crataegus monogyna* Jacq. *Journal of Chromatography A* **1997**, 767, 340. [[Crossref](#)]
 10. Audier, H. E.; Beugelmans, R.; Das, B. C.; Mass spectrometry of tetracyclic triterpenes part II. The lanostane group: Influence of the 9:19-cyclopropane ring. *Tetrahedron Letter* **1966**, 7, 4341. [[Crossref](#)]
 11. Santos, P. F.; Gomes, L. N.; Mazzei, J. L.; Fontão, A. P. A.; Sampaio, A. L.; Siani, A. C.; Valente, L. M.; Polyphenol and triterpenoid constituents of *Eugenia florida* dc.(myrtaceae) leaves and their antioxidant and cytotoxic potential. *Química Nova* **2018**, 41,1140. [[Crossref](#)]
 12. Gwatidzo, L.; Botha, B. M.; McCrindle, R. I.; Combrinck, S.; Extraction and Identification of Phytosterols in Manketti (*Schinziophyton rautanenii*) Nut Oil. *Journal of the American Oil Chemists Society* **2014**, 91, 783. [[Crossref](#)]
 13. Silva, C. A. de M.; *Dissertação de Mestrado*, Universidade de Brasília, Brasil, 2007. [[Link](#)]

